

# Lineare Gleichungssysteme am Quanten Computer

Sei  $A \in \mathbb{C}^{N \times N}$ ,  $b \in \mathbb{C}^N$ ,  $N = 2^n$

(invertierbar, hermitisch (koni. symm.))

LGS: finde  $x \in \mathbb{C}^N$  s.t.  $Ax = b$

für  $A$  par.def.,  $\rightsquigarrow$  klass. Verfahren Standard CG  
sparse sm. sparsity

Aufwand  $\Theta(sN \cdot \ell)$   $\ell \dots$  Anzahl Iterationen

Fehler  $\|x - x_0\|_A \leq 2 \left(\frac{\sqrt{K}-1}{\sqrt{K}+1}\right)^\ell \|x - x_0\|_A$

$K = K(A) \dots$  Konditionszahl  $= \|A\| \cdot \|A^{-1}\|$

für rel. Fehler  $\leq \varepsilon$

$$\Rightarrow 2 \left(\frac{\sqrt{K}-1}{\sqrt{K}+1}\right)^\ell \leq \varepsilon$$

$$q := \left(1 - \frac{2}{\sqrt{K}+1}\right) \geq e^{-\frac{2}{\sqrt{K}}}$$

$$\Rightarrow \ell \leq \frac{\log \frac{\varepsilon}{2}}{\log q} \leq \frac{1}{2} \sqrt{K} \ln \left(\frac{2}{\varepsilon}\right)$$

$\rightsquigarrow$  Aufwand  $\Theta(sNK \ln \frac{2}{\varepsilon})$

Q: exponentieller Speedup auf Q-Cmp.  
möglich ??

Quantenversion von LGS:

QLGS:  $A \in \mathbb{C}^{N \times N}$  hermitisch,  $\det A = 1$   
 $(b_i) = b \in \mathbb{C}^N$ ,  $x \stackrel{(x_i)}{\in} \mathbb{C}^N$  s.t.  $x = A^{-1}b$   
gegeben,  $N = 2^n$ .

Sei weiters  $|b\rangle$  ein  $n$ -qubit Zustand  
gegeben als

$$|b\rangle := \sum_i b_i |i\rangle / \left\| \sum_i b_i |i\rangle \right\|$$

und

$$|x\rangle := \sum_i x_i |i\rangle / \left\| \sum_i x_i |i\rangle \right\|$$

Ziel: finde Zustand  $|x\rangle$  s.d.

$$\| |x\rangle - |x\rangle \| \leq \varepsilon$$

→ ges. Fehlerfertenz

mit Wahrsch.  $S \approx \frac{1}{2}$

---

Schreibweise in Literatur (Formel<sup>0</sup>)

$$A|x\rangle = |b\rangle$$

Bem.:.) Normalisierungen notwendig  
da sonst kein Q-Zustand!

. )  $QLSP \neq LSP$

$\hookrightarrow$  man erhält nur Zustand  $|x\rangle$ , nicht  
Vektor, der  $Ax=0$  löst!

. ) falls A nicht hermitisch betrachte

$$\tilde{A} = \begin{pmatrix} 0 & A^H \\ A & 0 \end{pmatrix} = |1\rangle\langle 0| \otimes A + |0\rangle\langle 1| \otimes A^H$$

$\leadsto$  Matrix dim. verdoppelt

$\simeq 1$  zusätzliches Ancilla Qubit

$$\text{löse } \tilde{A}|0x\rangle = |1b\rangle$$

. )  $\det A = 1$  keine echte Einschränkung  
 $\leadsto$  skalare Matrix

---

. ) wollen: effizienten Algor.

$\hookrightarrow$  polylogarithmisch in N

. ) impl. Annahme: Zustand  $|b\rangle$  kann  
effizient bereitgestellt werden

A kann am Q-Cmp. implementiert werden  
 $\hookrightarrow$  später!

Anm. Auslesen von Koeff. von  $|x\rangle \sim O(N)$

$\rightarrow$  QLSP nur nützlich wenn Quantenzust. benötigt  
 $\rightarrow$  Subroutine für andere Probleme

---

HHL (Harrow, Hassidim, Lloyd) - Algorithmus

Idee: A hermitisch  $\rightarrow$  spektral (setz):

$$A = \sum_{j=0}^{N-1} \lambda_j |v_j\rangle \langle v_j|$$

$$\lambda_j \in \mathbb{R} \quad |v_j\rangle \in \mathbb{R}^N \text{ -- EV}$$

$$|b\rangle = \sum_{j=0}^{N-1} \beta_j |v_j\rangle = \sum_{j=0}^{N-1} \langle v_j | b \rangle |v_j\rangle$$

spektral (setz (oder direkt nachrechnen)):

$$A^{-1} = \sum_{j=0}^{N-1} \frac{1}{\lambda_j} |v_j\rangle \langle v_j|$$

$$\Rightarrow |x\rangle = A^{-1}|b\rangle = \sum_{j=0}^{N-1} \frac{\beta_j}{\lambda_j} |v_j\rangle$$

nur Formel zu verstehen  $\rightarrow$  als korrekte  
Quantenoperation später! 0

Problem:  $A, A^{-1}$  i.s. nicht unitär  
 $\Rightarrow A^{-1}|b\rangle$  nicht erlaubt

Lösung: Matrix  $U = e^{iA}$  unitär,  
 hat selbe EV wie  $A$  gle

$$\begin{aligned}
 A &= XDX^{-1} \Rightarrow e^{iA} = \sum_{n=0}^{\infty} \frac{(ix)^n}{n!} \\
 &= \sum_{n=0}^{\infty} \frac{(iXDX^{-1})^n}{n!} \\
 &= X \sum_{n=0}^{\infty} \frac{(iD)^n}{n!} X^{-1} \\
 &\approx Xe^{iD}X^{-1} \\
 &= \sum_j e^{i\lambda_j} |v_j\rangle \langle v_j|
 \end{aligned}$$

1) berechne EW von  $U$

$\Rightarrow$  EW von  $A$

$\hookrightarrow$  mittels Quantum Phase Estimation!

2) Invertiere EW  $\lambda_j \mapsto \frac{1}{\lambda_j}$

wie ??  $\rightarrow$  "controlled rotation"

3) Reversiere QPE

## Hamiltonian Simulation

direkt  $\Theta(N^3)$

Q: Wie kann man  $e^{iAt} = U$  bzw.  
 $U^{2^k}$  effizient implementieren?

hier: A ist Hamiltonian für U

obige Frage ist eine fundamentale Fragestellung  
in Quanten computing?

Schrödinger gl. s.

$$i \frac{d}{dt} |\psi(t)\rangle = H |\psi(t)\rangle$$

beschreiben jedes Q-System

$$\hookrightarrow |\psi(t)\rangle = e^{-iHt} |\psi(0)\rangle$$

Zur eff. Simulation  $\rightarrow$  muss  $e^{-iHt}$  eff. impl.

"Hamiltonian Simulation"

als circuit  
bis auf Fehler  $\leq \epsilon$

Definition Ein Hamiltonian  $H$ , der auf  $n$  qubits operiert  
kann effizient simuliert werden, wenn

$t > 0, \epsilon > 0 \exists$  q-circuit  $U_H$  bestehend aus  
 $\text{poly}(n, t, \frac{1}{\epsilon})$  gates s.d.

$$\|U_H - e^{-iHt}\| < \epsilon$$

Bem. Zeitabh. wichtig

"no-fast forwarding theorem"

generell: min. Zeit zur Simulation von  $H$  an  $t$   
 $\sim \Theta(t)$

---

generelles approx. Problem  $\rightarrow$  NP schwer Gute Zahl. zu  
finden

$\rightarrow$  brauchen Annahmen

---

Ann. 1:  $H = \sum_{j=1}^m H_j$   $m \sim \text{poly}(n)$

& alle  $H_j$  operieren auf  $k = \Theta(1)$  qubits  
" $k$ -Local Hamiltonians"

---

Trotter-Suzuki splittung

Für  $k$ -Local Ham. Implementierung von

$e^{iH_j t}$  einfacher Koeffizient ob  $H_j$  nur auf  
 $k$  qubits operiert

falls z.B.  $H$  diagonal  $\Rightarrow H = TDT^H$

$$\Rightarrow e^{iHt} = T e^{iD} T^H$$

falls  $D_{\text{eff}}$  effizient bestimmbar

$$\Rightarrow |i0\rangle \xrightarrow{\text{koordinat.}} |iD_{\text{eff}}\rangle \xrightarrow{\text{Phase part.}} e^{iD_{\text{eff}}t} |iD_{\text{eff}}\rangle$$
$$\xrightarrow{\text{decompd entry}} e^{iD_{\text{eff}}t} |i0\rangle$$

für  $k$ -fach  $\rightsquigarrow$  effiziente Diagonalisierung ✓  
der  $H_j$

Aber:  $e^{iHt} \neq \prod_{j=1}^m e^{iH_j t}$

gilt nur, wenn alle  $H_j$  kommutieren 0

da  $e^{A+B} = \sum_{n=0}^{\infty} \frac{(A+B)^n}{n!} = \sum_{n=0}^{\infty} \sum_{k=0}^n \binom{n}{k} A^k B^{n-k}$


$$= \sum_{k=0}^{\infty} \frac{A^k}{k!} \cdot \sum_{n=k}^{\infty} \frac{B^n}{n!} = e^A \cdot e^B$$

(schriftl. pred.)  $= \sum_{k=0}^{\infty} \frac{A^k}{k!} \cdot \sum_{n=k}^{\infty} \frac{B^n}{n!} = e^A \cdot e^B$   
nur für  $\text{Komm } 0$

# Lösung: Trotter / Lie-Produkt Formel

Theorem Sei  $H = H_1 + H_2$ , alle hermitisch

$$\Rightarrow \lim_{L \rightarrow \infty} \left( e^{iH_1 t/L} \cdot e^{iH_2 t/L} \right)^L = e^{iHt}$$

Es gilt sogar

$$\left\| e^{iHt} - \left( e^{iH_1 t/L} \cdot e^{iH_2 t/L} \right)^L \right\| \leq C \cdot \frac{t^2}{L}$$

mit  $C = C(\|H_1\|, \|H_2\|)$

Beweis Taylor,

zu verstehen als Terme in  $H_1, t, L$  bedr. durch

$$e^{iH_1 t/L} = I + iH_1 \frac{t}{L} + \underbrace{\mathcal{O}\left(\|H_1\|^2 \frac{t^2}{L^2}\right)}$$

$$\begin{aligned} \Rightarrow e^{iH_1 t/L} \cdot e^{iH_2 t/L} &= \left( I + iH_1 \frac{t}{L} + \mathcal{O}\left(\|H_1\|^2 \frac{t^2}{L^2}\right) \right) \cdot \\ &\quad \left( I + iH_2 \frac{t}{L} + \mathcal{O}\left(\|H_2\|^2 \frac{t^2}{L^2}\right) \right)^L \\ &= \left( I + i \cdot (H_1 + H_2) \frac{t}{L} + \mathcal{O}\left(\max(\|H_1\|, \|H_2\|) \frac{t^3}{L^2}\right) \right)^L \end{aligned}$$

$$\begin{aligned} (*) \quad \stackrel{\text{Taylor}}{\Rightarrow} & \left( \underbrace{e^{i(H_1 + H_2) \frac{t}{L}}}_{=: A} + \underbrace{\mathcal{O}\left(\max(\|H_1\|, \|H_2\|)^2 \frac{t^2}{L^2}\right)}_{=: B} \right)^L \end{aligned}$$

$$D_2 (A+B)^L = A^L + \sum_{j=0}^{L-1} A^{L-j-1} B A^j + \underbrace{\dots + B^L}_{\mathcal{O}(\|B\|^2)}$$

$$\Rightarrow (*) = e^{i(H_1+H_2)t} + L \cdot \mathcal{O}\left(\max(\|H_1\|, \|H_2\|)\frac{t^2}{L^2}\right)$$

$$\Rightarrow \left\| e^{i(H_1+H_2)t} - \left( e^{iH_1 t/L} \cdot e^{iH_2 t/L} \right)^L \right\| \leq C \frac{t^2}{L}$$

$\downarrow L \rightarrow \infty$   
 $\square$

Bem. .) Für eff. Simulation:

$$\max(\|H_1\|, \|H_2\|) = \mathcal{O}(\text{poly}(n))$$

.) Fehler  $\leq \varepsilon$  -gg.

$$\Rightarrow L = \mathcal{O}\left(C(H_1, H_2), \frac{t^2}{\varepsilon}\right)$$

.) hier: Splitting 1. Ordnung

höhere Ordnung auch möglich, z.B.

Strang Splitting

$$\left\| e^{iHt} - \left( e^{iH_1 t/(2L)} e^{iH_2 t/L} e^{iH_1 t/(2L)} \right)^L \right\| \leq C \frac{t^3}{L^2}$$

$$\Rightarrow L = \mathcal{O}\left(C \frac{t^{\frac{3}{2}}}{\varepsilon}\right)$$

Strong splitting: 2. Ordnung  
Methoden Ordnung p möglich

$$\sim L \in \Theta\left(t^{\frac{p+1}{p}} \varepsilon^{-\frac{1}{p}}\right) \subset \text{last linear int}^0$$

.) Falls k-local Ham. mit m-Termen:

$$\|e^{iHt} - \left(e^{iH_1 t/L} \cdot \dots \cdot e^{iH_m t/L}\right)^L\| \leq C \frac{m^2 t^2}{L}$$

.) Fehler Abschätzung rel. pessimistisch, in zw. besser  
Vorteil: einfach, braucht keine zus. Qubits

---

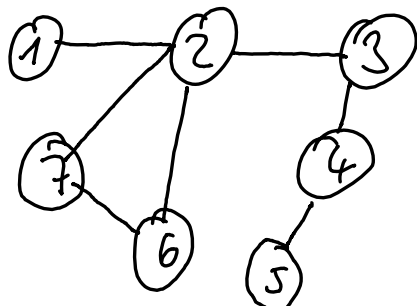
Essentielle Frage: Wie findet man Zerlegung

$$H = \sum H_i \quad ??$$

z.B. mittels Graphentheorie „graph coloring methods“

Def. Ein Graph  $G = (V, E)$  ist def. durch Knotenmenge  $V$  und Kanten  $E$ , die ungerichtete Paare von Knoten sind.

Bsp.



$$V = \{1, \dots, 7\}$$

$$E = \{(1,2), (2,3), (2,6), (2,7), (6,7), (3,4), (4,5)\}$$

Def.  $v_1, v_2 \in V$  heißen verbunden, wenn  $\exists e \in E$  s.d.  $e = (v_1, v_2)$ .

Der Grad eines Knotens  $v \in V$  ist  $\#\{v_i : (v, v_i) \in E\}$ .

Sei  $|V| = n$ . Dann kann ein Graph mittels seiner  $n \times n$ -adjacency matrix beschrieben werden:

$$A_{ij} = \begin{cases} 1 & \text{falls } i, j \in V : (i, j) \in E \\ 0 & \text{sonst} \end{cases}$$

Obiges Bsp.:

$$A = \begin{pmatrix} 0 & 1 & 0 & 0 & 0 & 0 & 0 \\ 1 & 0 & 1 & 0 & 0 & 1 & 1 \\ 0 & 1 & 0 & 1 & 0 & 0 & 0 \\ 0 & 0 & 1 & 0 & 1 & 0 & 0 \\ 0 & 0 & 0 & 1 & 0 & 0 & 0 \\ 0 & 1 & 0 & 0 & 0 & 0 & 1 \\ 0 & 1 & 0 & 0 & 0 & 1 & 0 \end{pmatrix}$$

graph coloring problem: gegeben  $k$  Farben, können alle Kanten  $E$  von  $G$  so eingefärbt werden, dass zwei Kanten, die einen Endpunkt teilen nie die gleiche Farbe haben?

Antwort: Vizing's Theorem:

Theorem Sei  $G = (V, E)$  ein Graph mit maximalem Grad der Knoten  $\delta$   
 $\Rightarrow \exists$  Lsg. für das gc-problem mit  $k \leq \delta + 1$

---

Anwendung auf Ham. Struk.:

1. Identifizierte  $H$  mit adj. matrix  $A$ :

$$A_{ij} = \begin{cases} 1 & \text{falls } H_{ij} \neq 0 \\ 0 & \text{falls } H_{ij} = 0 \end{cases}$$

$\rightarrow$  liefert zugehörigen Graph  $G$

2. Bestimme eine Einfärbung von  $G$  mit  $k$  Farben

3. zerlege  $G$  bzw.  $A$  anhand der Farben in Sub-Graphen

$$A = \sum_{c=1}^k A_c$$

Für allg.  $A \rightarrow$  unmöglich effizient realisierbar!  
→ verlange sparsity

Annahme  $A \in \mathbb{C}^{2^n \times 2^n}$  Hermitsch,  $\|A\| \leq 1$   
 $A$  sei s-sparse und wir haben sparse access  
zu den Matrix-Einträgen. D.h.:

- ) jede Zeile/Spalte von  $A$  hat max.  $s$  nicht-0 Einträge

- ) Wir haben query

$$O_A: |ij\rangle |0\rangle \mapsto |ij\rangle |A_{ij}\rangle$$

hier: hinteres Register groß genug, dass  $A_{ij} \in \mathbb{C}$   
exakt/hinreichend genau als Binärzahl geschr.

- ) Wir haben weitere query

$$O_C: |jl\rangle \mapsto |jv(j,l)\rangle$$

wobei  $v(j,l) \in \{0, \dots, N-1\}$  die Position des  $l$ -ten nicht-0 Eintrags in der  $j$ -ten Spalte von  $A$  ist.

- ) Wir können  $O_A^{-1}$ ,  $O_C^{-1}$  ausführen.

- Sparsity  $\rightarrow$  max. Größe des Graphen  $\leq s$
- Vizing Thm  $\rightarrow$  brauche max.  $s+1$  Farben
- Effizient berechenbare Einfärbung mit  $s^2$  Farben
- Matrizen  $A_C$  sind symmetrisch, 1-sparse
  - $\Rightarrow$  zugeh.  $H_C$  effizient simulierbar
  - da Matrizen in  $\Theta(1)$  diagonalisierbar
- Gesamt aufwand (naive Realisierung hier)
  - $\Theta(s^2 t^2 \text{poly}(n)/\epsilon)$

OBdA Diagonale immer  
 da  $H = \text{diag}(H) + \text{Rest}$   
 in  
 effizient ✓

Q: Wie wird „sparse access“ implementiert?

Bsp. circulant matrix

$$\begin{pmatrix} \alpha & \gamma & 0 & \dots & 0 & \beta \\ \beta & \alpha & \gamma & \ddots & & \\ 0 & \gamma & \ddots & \ddots & & \\ \vdots & \ddots & \ddots & \ddots & \ddots & \gamma \\ 0 & & & \ddots & \ddots & \beta \\ \gamma & & & & \beta & \alpha \end{pmatrix}$$

3-sparse

$$\cdot) r(j, l) = j + l - 1 \bmod N \quad l = 0, 1, 2$$

(hier Matrizen von O wegt  
indiziert)

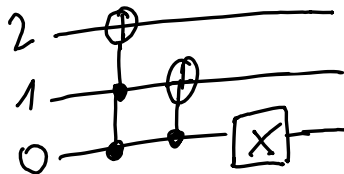
$$\rightarrow O_C: |j\rangle \mapsto \begin{cases} |j \bmod (j-1, N)\rangle & l=0 \\ |j\rangle & l=1 \\ |j \bmod (j+1, N)\rangle & l=2 \end{cases}$$

$\bmod(j \pm 1, N)$  können durch Shift Permutationen  
realisiert werden

$$R = \begin{pmatrix} 0 & 1 & & & 0 \\ 1 & 0 & & & \\ & & \ddots & & \\ & & & \ddots & 1 \\ 0 & & & & 0 \end{pmatrix} \quad L = \begin{pmatrix} 0 & & & & 1 \\ 1 & 0 & & & \\ & & \ddots & & \\ & & & \ddots & 1 \\ & & & & 0 \end{pmatrix}$$

# Circuits:

$L$ :



(für 3 qubits)

( $X = \begin{pmatrix} 0 & 1 \\ 1 & 0 \end{pmatrix}$ ) bitflip

zu verstehen als Stellen in Binärdarst.

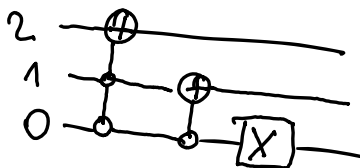
z.B.:  $|010\rangle \mapsto |011\rangle$   $\text{durch } 2 \mapsto 3$

$\begin{matrix} \uparrow & \uparrow & \uparrow \\ 1 & 0 & 0 \end{matrix} \quad \begin{matrix} \uparrow & \uparrow & \uparrow \\ 1 & 0 & 1 \end{matrix}$

$|111\rangle \mapsto |100\rangle$   $7 \mapsto 0$

---

$R$ :



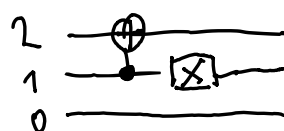
hier  $\oplus$  controlled NOT, aktiv wenn Kontrolle=0  
 $\oplus$  analog CCNOT, aktiv wenn beide = 0

---

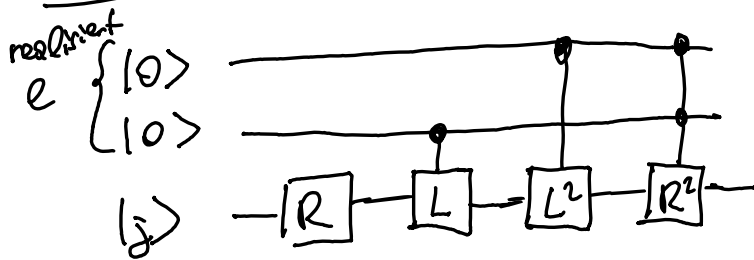
brauchen auch  $[L^2]$ ,  $[R^2]$

es ggf:  $\begin{matrix} 2 \\ 1 \\ 0 \end{matrix} \xrightarrow{\text{[L}^2\text{]}} \begin{matrix} 2 \\ 1 \\ 0 \end{matrix} = \begin{matrix} 2 \\ 1 \\ 0 \end{matrix} \xrightarrow{\text{[L]}} \begin{matrix} 2 \\ 1 \\ 0 \end{matrix}$

Analog für  $R^2$



# O<sub>C</sub> circuit:



•) R-parte für alle  $\ell$        $j \mapsto \text{med}(j-1, N)$

part for  $\ell=0$

also  $|00\rangle$

•) für  $\ell=1 = |01\rangle$        $j \mapsto j$

→ mache R-parte mittels L-parte rückspiegel

•)  $\ell=2 = |10\rangle$        $j \mapsto \text{med}(j+1, N)$

mache  $L^2$ -shift  $\Rightarrow RL^2=L$ -shift

•)  $\ell=3 \simeq |11\rangle$       ... entspricht 0-Einträgen

→ mache  $R^2$ -shift um  $L^2$ -shift umzuklappen

## $O_A$ Circuit

generell: controlled rotations: unitäre Op.

$$U_\theta: |\theta\rangle = |0\rangle \mapsto |\theta\rangle = (\cos(\pi\theta)|0\rangle + \sin(\pi\theta)|1\rangle)$$

$\uparrow$        $\uparrow$   
 Kontrolle    Ziel

hier:  $\theta \in [-1, 1]$ , Ann.  $\theta = \theta_0 \cdot 2^{-1} + \theta_1 \cdot 2^{-2} + \dots + \theta_{d-1} \cdot 2^{-(d-1)}$   
 exakte Binärdarst.

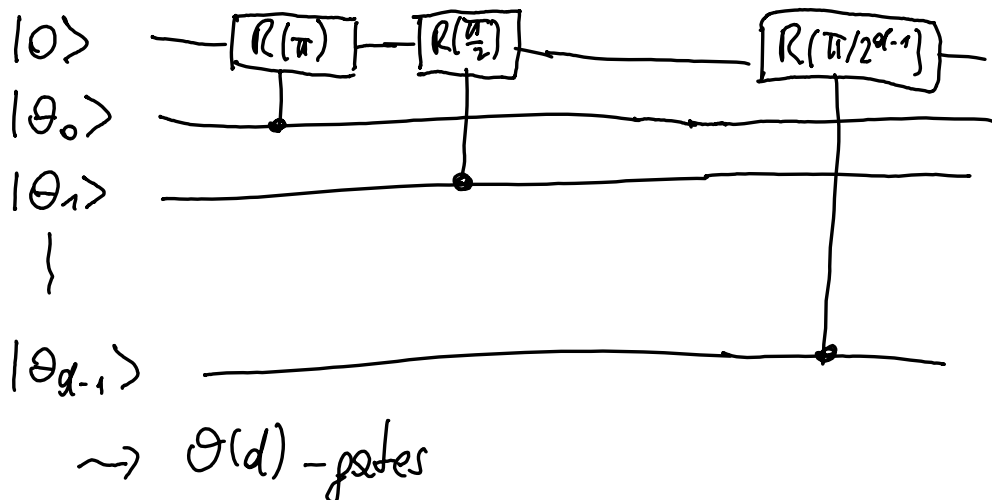
für  $|\theta\rangle = |0\rangle \rightsquigarrow$  Output  $|0\rangle|0\rangle$   
 $|\theta\rangle = |1\rangle \rightsquigarrow$  Drehung um  $\pi\theta \rightarrow$  Matrix  $\begin{pmatrix} \cos J & -\sin J \\ \sin J & \cos J \end{pmatrix}$

Schreibweise



$\approx 1\text{-qubit Rotation}$   
 $\text{um } y\text{-Achse}$

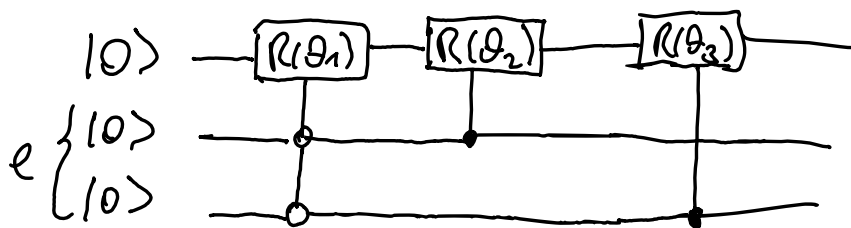
## Implementierung



$\sim$  generiere Wert  $\mathcal{L}^{[0,1]}$  mittels Rotationen

um Winkel  $\theta_1 = \arccos \alpha \cdot \frac{\pi}{\pi}$

analog  $\sim \theta_2 = \frac{1}{\pi} \arccos(\beta)$ ,  $\theta_3 = \frac{1}{\pi} \arccos(\gamma)$



$\ell=0 \sim \alpha$ ,  $\ell=1 \sim \beta$ ,  $\ell=2 \sim \gamma$

---

Modifikation für 3-qbg Matrix:

füge 2 zusätzliche Rotationen  $R(\theta_4), R(\theta_5)$

hinter die Elemente  $A_{1n}$  bzw  $A_{n1}$  auf 0  
zurückrotieren

$\sim$  brauche 1 control Qubit mehr

## Einlesen der rechten Seite

gegeben  $b \in \mathbb{R}^N$ , Ziel:  $\|b\| := \frac{\sum |b_i|}{\|b\|_2}$

in  $\Theta(\log N)$  (bzw  $\tilde{\Theta}(N)$  mit  $\tilde{b} = b$  bis auf machine prec.)

mögliche Lsg: quantum RAM (qRAM)

Klassische Datenstruktur auf die mit Überlegungen von q-Zuständen zu prüfen werden kann.

ObdA  $\|b\|_2 = 1$  da das erste Zahl

→ kann mittels Binärdarst. eingelesen werden

divide and conquer - Idee → spätere

$x$  in Binärbaum  $B_x$

$$\text{Wurzel } \sqrt{\sum_{i=1}^N x_i^2} = 1$$

Tiefe  $\log N = n$

Blätter  $(x_i^?, s_{\text{px}, i})$

Level

1

$$N \sum_{i=1}^N x_i^2 = 1$$

2

$$\frac{N}{2} \sum_{i=1}^{N/2} x_i^2$$

$$\frac{N}{2} \sum_{i=\frac{N}{2}+1}^N x_i^2$$

3

$$\frac{N}{4} \sum_{i=1}^{N/4} x_i^2$$

$$\frac{N}{4} \sum_{i=N/4+1}^{N/2} x_i^2$$

:

$$N-1 \quad x_1^2 + x_2^2$$

$$n \quad (x_1^2, \text{sgn}(x_1))$$

$$(x_2^2, \text{sgn}(x_2))$$

- - -

$$(x_N^2, \text{sgn } x_N)$$

Anm..) Jeder Knoten ist Summe der Kinder  
(zusätzliche sgn. Information im Blatt ignoriert)

.) Vektoren wird gelegten: Läuft durch Baum  
von Wurzel weg, fügt wenn nötig neue Register hinzu, verwendet controlled rotation,  
um Werte in den jeweiligen Nodes zu  
realisieren

-)  $B_X$  hat  $\Theta(N)$  Knoten

Ann.: ist pre-computed (kein wach)  
↳ convenient in afterward...

## Algorithmus (lange Vektor aus QRAM)

% input:  $x \in \mathbb{R}^N$  prep. im Baum  $B_X$

% output:  $|x\rangle$

Initialisiere  $n$ -qubits  $|0\ldots 0\rangle$ , best. mit  $|q_1\rangle, |q_n\rangle$

$v = \text{root}(B_X)$ , call  $\text{processNode}(v)$

$\text{processNode}(\text{vertex } v)$

$v_e, v_r \leftarrow \text{Kinder}(v)$

$$\theta = \arccos \sqrt{\frac{v_e}{v}}$$

Controlled Rotation  $|q_k\rangle = \cos \theta |0\rangle + \sin \theta |1\rangle$

falls qubits  $|e_1\rangle, |q_{k-1}\rangle \simeq$  Binärzust. von  $v$

if  $v_e, v_r \in B$  (oder

$|q_k\rangle = \text{processSign}(e_k, v_e, v_r)$

return

else

$\text{processNode}(v_e)$

$\text{processNode}(v_r)$

end

end

procesSion ( $q_k, v_L, v_R$ )

if  $s_{\text{gn}}(v_L) = s_{\text{gn}}(v_R) = +1$  return  $q_k$

if  $\dots = -1$  return  $-q_k$

if  $s_{\text{gn}}(v_L) = 1, s_{\text{gn}}(v_R) = -1$  return  $2q_k$

if  $s_{\text{gn}}(v_L) = -1, s_{\text{gn}}(v_R) = 1$  return  $-2q_k$

end

2.. phase  
flip

---

Lemme Falls  $x \in \mathbb{R}^N$  vorbereichert

$\Rightarrow$  Alg. erzeugt Zustand  $|x\rangle = \sum_{i=1}^N x_i |i\rangle$

in  $\Theta(n) = \Theta(\log N)$ .

---

Beweis.) Zeige Alg. erzeugt tatsächlich  $|x\rangle$

Alg.  $\rightarrow$  wandere durch Baum, multipliziere

Knoten  $v_k$  mit  $\sqrt{\frac{v_k}{v_{k-1}}}$ , Blatt  $i$  noch mit signum

$$\Rightarrow \prod_{k=2}^n \sqrt{\frac{v_k}{v_{k-1}}} s_{\text{gn}}(x_i) = \underbrace{\sqrt{\frac{v_n}{v_1}}}_{\frac{x_i}{\sqrt{2}}} s_{\text{gn}}(x_i) = x_i$$

✓

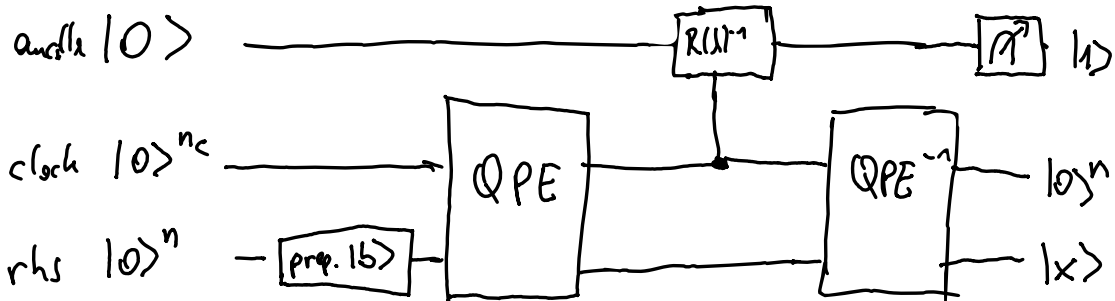
Laufzeit:  $2^k$  Rotationen (in  $\Theta(1)$ ) auf Level k  
passiert parallel  $\rightarrow$  kontrollierte Op.  
auf selben Qubit ?  
(Kontrolle checkt binär-Repr.  
von Verkettung)  
 $\rightarrow \# \text{ Levels} = n = \log N$  beschr. Aufwand

Aber: Annahme  $Bx$  precomputed signifikant ?  
kann Speedup ruinieren ?

Zumindest: Lemma zeigt: kann dann  $|b\rangle$  und  
auch Kopien von  $|b\rangle$  ( $0$ ) schnell erzeugen

# L(HL revised

Circuit



1. best.  $|b\rangle$  (z.B QRAM)

mit  $n = \log N$  qubits um  $|b\rangle$  darzustellen

2. Wende Quantum Phase Estimation an auf

$$|0\rangle |b\rangle = \sum_{j=0}^{N-1} \beta_j |0\rangle |v_j\rangle \quad (\text{h.z. } |b\rangle = |\psi\rangle^n)$$

$$\text{mit } U = e^{-iA}$$

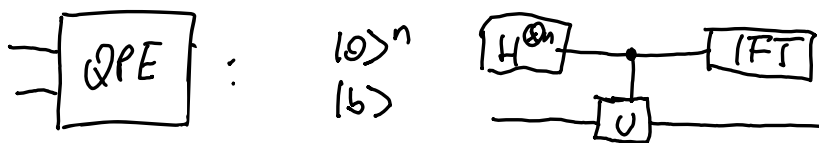
benötigt:  $H^{\otimes n_c}$  ✓

$$U^{2^j} \quad j=0, \dots, n_c-1 \quad \text{Ham. Schr. ✓}$$

1 QFT  $\rightarrow \Theta(n^2)$ -gates ✓

liefert: Approx. zu EWen von A (nicht von  $U^{-1}$  aus)

Approx., da in QPE angenommen:  $\lambda_j$  hat exakte Binärdarst. mit  $n_c$ -qubits



reelliert  $|\lambda_j\rangle |\psi\rangle \mapsto \frac{1}{\sqrt{N}} \sum_{j=0}^{N-1} e^{2\pi i j / N} |\lambda_j\rangle |\psi\rangle$   
mit  $\lambda \in \mathbb{R}$  zu EV  $\psi$

$\Rightarrow$  Anwendung auf  $|b\rangle$  von QPE: Zustand

$$|0\rangle |b\rangle \mapsto \sum_j \beta_j |\tilde{\lambda}_j\rangle |\psi_j\rangle$$

$\uparrow$   
binär-Rep. von  $\lambda_j$

3. Controlled rotation: füge Ancilla qubit hinzu  
und drehe um Winkel (Dreh. mit  $R_y(2S)$  definiert)

$$\frac{\Theta}{2} = \arcsin \left( \frac{C}{\tilde{\lambda}_j} \right)$$

$$\Rightarrow \sum_j \beta_j |\tilde{\lambda}_j\rangle |\psi_j\rangle \left( \sqrt{1 - \frac{C^2}{\tilde{\lambda}_j^2}} |0\rangle + \frac{C}{\tilde{\lambda}_j} |1\rangle \right)$$

hier: C.. Konstante s.d.

$$C \leq \min |\tilde{\lambda}_j| = \Theta\left(\frac{1}{k}\right)$$

Bem.:  $\arcsin(\lambda)$  kann mit  $\Theta(\text{poly}(n))$  elementaren gates (approx.) realisiert werden  
 → Literatur

4. Inverse QPE "uncomputing": Zustand

$$\sum_{j=0}^{N-1} \beta_j |0\rangle |v_j\rangle \left( \sqrt{1 - \frac{c^2}{\tilde{x}_j^2}} |0\rangle + \frac{c}{\tilde{x}_j} |1\rangle \right)$$

5. Messen des letzten Qubits

Falls Ergebnis  $|1\rangle \Rightarrow$  Zustand

$$C \sum_{j=0}^{N-1} \frac{\beta_j}{\tilde{x}_j} |0\rangle |v_j\rangle$$

proport. zu  $|\tilde{x}\rangle$

Wahrsch.  $|1\rangle$  zu messen:

$$\frac{1}{\sqrt{\sum_{j=0}^{N-1} C^2 |\beta_j|^2 / \tilde{x}_j^2}}$$

Bem.: Normalisierungskonstante kürzt  $C$

→ tritt nicht in Lsg. auf, aber sehr wohl  
 in der Erfolgswahrsch.

# Quantum composer Bsp

$$A = \begin{pmatrix} 1 & -\frac{1}{3} \\ -\frac{1}{3} & 1 \end{pmatrix} \quad b = \begin{pmatrix} 0 \\ 1 \end{pmatrix} \quad 1\text{-qubit System}$$

$$\text{(Sg. von } Ax=b \text{)} \quad \rightarrow x = \frac{1}{8} \begin{pmatrix} 3 \\ 1 \end{pmatrix}$$

$$\text{EW/EV von } A: \quad \lambda_0 = \frac{2}{3}, \quad \lambda_1 = \frac{4}{3}$$

$$v_0 = \frac{1}{\sqrt{2}} \begin{pmatrix} -1 \\ -1 \end{pmatrix} \quad v_1 = \frac{1}{\sqrt{2}} \begin{pmatrix} -1 \\ 1 \end{pmatrix}$$

breche  $U = e^{iAt}$   $\quad$  wähle  $t = \frac{3\pi}{4}$   
 $U^2 = e^{i2At}$   $\quad$   $\leadsto$  exakte Binärdarst.

für EWE in QPE mit 2 qubits

$$U = \frac{1}{\sqrt{2}} \begin{pmatrix} -1 & -1 \\ -1 & 1 \end{pmatrix} \underbrace{\begin{pmatrix} e^{i0t} & 0 \\ 0 & e^{i4t} \end{pmatrix}}_{\begin{pmatrix} i & 0 \\ 0 & -1 \end{pmatrix}} \frac{1}{\sqrt{2}} \begin{pmatrix} -1 & -1 \\ -1 & 1 \end{pmatrix}$$

$$= \frac{1}{2} \begin{pmatrix} -1+i & 1+i \\ 1+i & -1+i \end{pmatrix}$$

analog  $U^2 = \begin{pmatrix} 0 & -1 \\ -1 & 0 \end{pmatrix}$

Implementiert mit 4-Parameter unitary  
Date in (BM-Q) :

$$U = \begin{pmatrix} e^{i\gamma} \cos(\theta/2) & -e^{i(\delta+\lambda)} \sin(\theta/2) \\ e^{i(\delta+\lambda)} \sin(\theta/2) & e^{i(\delta+\lambda+1)} \cos(\theta/2) \end{pmatrix}$$

$$\rightarrow \Theta = \frac{\pi}{2}, \varphi = -\frac{\pi}{2}, \lambda = \frac{\pi}{2}, \gamma = \frac{3\pi}{4} \quad \text{für } U$$

$$\Theta = \pi, \varphi = \pi, \lambda = 0, \gamma = 0 \quad \text{für } U^2$$


---

### Controlled rotation

$$\text{EWc aus QPE} \quad \tilde{\lambda}_j = N \lambda_j + 1/2\pi$$

$$\rightarrow \tilde{\lambda}_0 = 1 \quad \tilde{\lambda}_1 = 2$$

$\rightarrow$  kann Konstante  $C=1$  wählen

$$\rightarrow \Theta_1 = 2 \arcsin\left(\frac{1}{\tilde{\lambda}_1}\right) = \pi$$

$$\Theta_2 = 2 \arcsin\left(\frac{1}{\tilde{\lambda}_0}\right) = \frac{\pi}{3}$$


---

Resultat: bekannte normierte Wahrscheinlichkeiten

zust.	p
00>	0.1875
01>	0.0625
10>	0.1875
11>	0.5625

↑ Ancilla  
1D-qubit

cond.  
Messung  
von Ancilla  
 $|0>$  mit  $P = \frac{1}{10}$   
 $|1>$  mit  $P = \frac{9}{10}$

— nur relevant, da ancilla |1> gemessen werden muss

Wahrsch.: Verhältnis 1:9

$$\text{Norm. Lös: } |x> = \frac{3}{10}|0> + \frac{9}{\sqrt{90}}|1>$$

Ergebnis

# Fehler- und Komplexitätsanalyse

bisherige Ann.: alle Größen haben exakte Binärdarst.

i.d. nicht möglich für EW von A

→ Phase estimation produziert EWs  $\tilde{\lambda}_j$  mit

$$|\tilde{\lambda}_j - \lambda_j| \leq \delta$$

mit Wahrsch.  $1 - \frac{1}{\text{polyn}}$  mit

Laufzeit  $\mathcal{O}(T_U \text{poly}(n) / \delta)$  wobei

$T_U$  - Rechenzeit für Impf. von  $U = e^{iA}$

Problem: numerische Stabilität von  $\lambda_j \mapsto 1/\lambda_j$   
mit centr. Rotation

Falls  $\lambda_j \approx 0 \rightarrow$  kleine Störung  $\tilde{\lambda}_j = \lambda_j + \varepsilon$

→ großer Effekt auf Fehler:

$$\left| \frac{1}{\lambda_j} - \frac{1}{\tilde{\lambda}_j} \right| = \left| \frac{\varepsilon}{\lambda_j(\lambda_j + \varepsilon)} \right| \simeq \frac{\varepsilon}{\lambda_j^2}$$

→ Problem mit schlechter Konditionszahl K von  $A_D^D$   
S.p.n. größer als  $\varepsilon_0^0$

## Lösung: Filterfunktionen

Invertiere EWe nur sofern  $\lambda \geq \frac{1}{K}$   $K \in \mathbb{N}_{\text{Kad. Zahl}}$

$$\rightarrow f(\lambda) = 0 \quad \text{für } \lambda < \frac{1}{2K}$$

für große EW  $\sim \frac{1}{\lambda}$

$$\Rightarrow f(\lambda) = \frac{1}{2K\lambda} \quad \lambda \geq \frac{1}{K}$$

dazwischen interpolieren (für num. StS.)

$$f(\lambda) = \frac{1}{2} \sin \left( \frac{\pi}{2} \cdot (2K\lambda - 1) \right) \quad \frac{1}{2K} \leq \lambda < \frac{1}{K}$$

$\Rightarrow$  f stetig

analog umgeh. Filter

$$f(\lambda) = \begin{cases} 0 & \lambda \geq \frac{1}{K} \\ \frac{1}{2} \cos \left( \frac{\pi}{2} (2K\lambda - 1) \right) & \frac{1}{K} > \lambda > \frac{1}{2K} \\ \frac{1}{2} & \frac{1}{2K} \geq \lambda \end{cases}$$

$\Rightarrow$  p-stetig und  $f^2(\lambda) + g^2(\lambda) \leq 1 \quad \forall \lambda$

Au<sup>u</sup>m: nur eine Wahl, nicht eindeutig,

auch Abschneiden bei  $\frac{1}{2K}$  kann wundersosen

stetig controlled rotation füge

3-qubit register hinzu

also keine Inversion durchgeführt.

$$|h(\tilde{\lambda}_j)\rangle := \sqrt{1 - f(\tilde{\lambda}_j)^2 - g(\tilde{\lambda}_j)^2} |nothing\rangle + \\ f(\tilde{\lambda}_j) |well\rangle + g(\tilde{\lambda}_j) |ill\rangle$$

↓  
hier EWE  
invertiert

↓  
Teile von  
IS im schlechten Kas.  
TR von A

dann nach  $(QPE)^{-1}$  und Messen von  $|well\rangle$

---

$$\text{prob: Endzustand} \approx \sum_{\substack{j: \lambda_j \geq \frac{1}{k}}} \lambda_j^{-1} \beta_j |u_j\rangle |well\rangle \\ + \sum_{\substack{j: \lambda_j < \frac{1}{k}}} \beta_j |u_j\rangle |ill\rangle$$

---

Lemma Die Abb.  $\lambda \mapsto |h(\lambda)\rangle$  ist Lipschitz stetig mit  $L = O(K)$ , i.e.:

$$\| |h(\lambda_i)\rangle - |h(\lambda_j)\rangle \|_2 \leq C K |\lambda_i - \lambda_j|$$

Bew: Elementar durch Abschätzen der Abb.  
von  $f, g$  (expl. berechnen  $\lambda_0$ )

□

Ziel: Fehlenschätz. für insazkde QPE nach gefilterter Inversion aller EW

$$\text{exakt: } |\Psi\rangle := \sum \beta_i |v_i\rangle |h(\lambda_i)\rangle$$

$$\text{approx.: } |\tilde{\Psi}\rangle := \sum \beta_i |v_i\rangle |h(\tilde{\lambda}_i)\rangle$$

$$\Rightarrow \| |\Psi\rangle - |\tilde{\Psi}\rangle \|_2^2 = \| |\Psi\rangle \|_2^2 + \| |\tilde{\Psi}\rangle \|_2^2 - 2 \operatorname{Re} \langle \Psi | \tilde{\Psi} \rangle$$

$$= 2 \underbrace{\left( 1 - \operatorname{Re} \langle \Psi | \tilde{\Psi} \rangle \right)}_{\in [0,1] \text{ (C.s.)}}$$

$$\Rightarrow \operatorname{Re} \langle \Psi | \tilde{\Psi} \rangle = \sum_{\substack{i=1 \\ v_i \text{ QNB}}}^N |\beta_i|^2 \operatorname{Re} \langle h(\lambda_i) | h(\tilde{\lambda}_i) \rangle$$

$$\text{Lemma} \Rightarrow \operatorname{Re} \langle h(\lambda_i) | h(\tilde{\lambda}_i) \rangle \geq 1 - \frac{c^2 K^2}{2} |\lambda_i - \tilde{\lambda}_i|^2$$

$$\geq 1 - \frac{c^2 K^2 \delta^2}{2}$$

↑  
Fehler pro EW  $\leq \delta$

$$\hookrightarrow \underbrace{\sum_{i=1}^N |\beta_i|^2}_{=1} c^2 K^2 \delta^2$$

$$\Rightarrow \| |\Psi\rangle - |\tilde{\Psi}\rangle \|_2 \leq C K \delta$$

Für Fehler  $\Theta(\epsilon)$

$\hookrightarrow$  Phase estimation Fehler  $\delta = \Theta\left(\frac{\epsilon}{K}\right)$

$\hookrightarrow$  Runtime  $\Theta(K \text{poly}(n)/\epsilon)$

---

Messung: möchte  $A_{\text{nc}}((x|1))$  (wohlkond. A)  
 $A_{\text{nc}}((x|\text{well}))$  (spezielles A)

$\leadsto$  Erfolgswahrsch

$$p \geq \sum_{i: |\lambda_i| \geq 1/K} |\beta_i|^2 \left| \frac{1}{\lambda_i K} \right|^2 = \Theta\left(\frac{1}{K^2}\right)$$

↑ note:  $\sum \frac{|\beta_i|^2}{|\lambda_i|^2} \leq \|A^{-1}S\|^2$

kann mittels „amplitude amplification“  
(vgl. Grover - Algorithmus) auf  $\Theta\left(\frac{1}{K}\right)$   
verbessert werden

$\Rightarrow \Theta(K)$  von prozedur nötig, um  
(well) mit bef. hohen Wahrsch. zu  
erhalten

## Gesamt aufwand:

•) state prep.:  $\Theta(n)$

(falls QRAM  
precomputed)

•) Hamiltonian Simulation:

$e^{iAt}$  wenn  $A$   $s$ -sparse bis auf Fehler  $\epsilon$  in  
 $\Theta(n^{\frac{1}{2}} \text{poly}(\log \frac{s t}{\epsilon}))$

(bestes Resultat in Literatur, einfache Methoden  
(in VO vorgestellt  $\Theta(n^{\frac{1}{2}} t^2 / \epsilon)$ )

•) QPE  $\Theta(\text{poly}(n) K / \epsilon \cdot T_U)$

•) Ampl. amp.  $\Theta(K)$

$\Rightarrow \Theta(\text{poly}(n) K^2 s / \epsilon \cdot \text{poly}(\log \frac{s}{\epsilon}))$

vgl. CG:

$\mathcal{O}(\exp(n) s \sqrt{K} \ln(\frac{2}{\epsilon}))$

besser in  $n$  aber schlechter in  $K, \epsilon$

Exp. speedup?

↳ Verbesserbar??

## Verbesserung des HHL-Algorithmus

CG: Komplexität vs. Genauigkeit  $\mathcal{O}(\log \frac{1}{\epsilon})$

HHL: wegen QPE  $\rightarrow \mathcal{O}(\frac{1}{\epsilon})$

Ziel: q-LGS Algorithmus mit ebenfalls log. Abh. von  $\epsilon^{-1}$ , immer noch exp. Speedup in N

Idee: Approximiere  $A^{-1}$  direkt

vgl. Cayley-Hamilton Theorem:

P.-char. Polynom von A  $\Rightarrow p(A) = 0$

$$\stackrel{\text{def}}{=} P_N \Rightarrow A^N + d_{N-1} A^{N-1} + \dots + d_0 I = 0 \quad \text{d. G. C}$$

$$\Leftrightarrow A^{-1} = -\frac{1}{d_0} \cdot (d_1 I + \dots + d_{N-1} A^{N-2} + A^{N-1})$$

$$= P_{N-1}(A)$$

Berechnung von  $d_i$  zu teuer, aber

ev.  $\exists$  Polynom  $q_m \in \mathbb{P}_m$  mit  $m < N-1$

$$\text{s.d. } A^{-1} \approx q_m(A)$$

und  $q_m(A)$  ist eff. implementierbar

2 Mögl.: 1. trigonometrische Polynome  $\sim$  Fourier Approx.  
 $\sim$  unitär

2. Chebyshev Polynome  
 $\hookrightarrow$  minimieren  $\|q_m(A)\|_2$

Q: Wie wirkt sich approx. der Matrix auf Endzustand aus?

Lemma Sei  $B$  hermitisch mit  $\|B^{-1}\| \leq 1$  und  $D$  so dass  $\|B-D\| \leq \varepsilon < \frac{1}{2}$   
 $\Rightarrow$  Zustände  $|x\rangle := \frac{|B|\psi\rangle}{\|B|\psi\rangle\|}$  und  $|\tilde{x}\rangle := \frac{|D|\psi\rangle}{\|D|\psi\rangle\|}$  erfüllen  $\||x\rangle - |\tilde{x}\rangle\| \leq 4\varepsilon$

Beweis: S-Ungl. :

$$\begin{aligned} \| |x\rangle - |\tilde{x}\rangle \| &= \left\| \frac{|B|\psi\rangle}{\|B|\psi\rangle\|} - \frac{|D|\psi\rangle}{\|D|\psi\rangle\|} \right\| \\ &\leq \underbrace{\left\| \frac{|B|\psi\rangle}{\|B|\psi\rangle\|} - \frac{|B|\psi\rangle}{\|D|\psi\rangle\|} \right\|}_{\leq \frac{\|B|\psi\rangle\| - \|D|\psi\rangle\|}{\|D|\psi\rangle\|}} + \frac{1}{\|D|\psi\rangle\|} \| |B|\psi\rangle - |D|\psi\rangle \| \\ &\leq \frac{\|D|\psi\rangle\| - \|B|\psi\rangle\|}{\|D|\psi\rangle\|} \end{aligned}$$

Nochmal S-Ungl. :

$$1 \leq \| |B|\psi\rangle \| \leq \| |D|\psi\rangle \| + \| (B-D)|\psi\rangle \| \leq \| |D|\psi\rangle \| + \varepsilon$$

↑  
by ass.

$$\Rightarrow \underbrace{\text{beide Terme}}_{\leq \frac{\varepsilon}{\|D|\psi\rangle\|} + \frac{\varepsilon}{\|D|\psi\rangle\|}} \leq 2 \frac{\varepsilon}{1-\varepsilon} \leq 4\varepsilon \quad \square$$

$\Rightarrow$  wende Lemma mit  $B = A^{-1}$  und  $D \approx A^{-1}$  an

### Fourier approach

Approximiere  $A^{-1} \approx \sum_j d_j e^{-i A t_j}$   $d_j, t_j \in \mathbb{R}$

also durch Linearkomb. von unitären Op. (LCU)

Z Fragen: 1.) Wie genau sieht die Approx. aus?

→ Ist diese effizient implementierbar?

### Implementierung von LCU

o BzDA  $d_j > 0$  da Phase sowieso nicht messbar

Ziel: Impl. von  $M = \sum_j d_j U_j$ , wobei  $U_j$  unitär  
 $M$  nich unbestimmt

Lemma Sei  $M = \sum_j d_j U_j$  mit  $d_j > 0$ ,  $U_j$  unitär  
und  $V$  Abb.  $V|0^m\rangle := \frac{1}{\sqrt{d}} \sum_j \sqrt{d_j} |j\rangle$  mit  $d = \sum_j d_j$

sowie  $U := \sum_j |j\rangle \langle j| \otimes U_j$

$\Rightarrow V^H UV = W$  erfüllt

$$W|0^m\rangle |\psi\rangle = \frac{1}{\sqrt{d}} |0^m\rangle M |\psi\rangle + |\phi^\perp\rangle$$

H Zust.  $|\psi\rangle$  wobei  $(|0^m\rangle \langle 0^m| \otimes I) |\phi^\perp\rangle =: \Pi |\phi^\perp\rangle$

Also: 1. Term realisiert  $M$  (nachdem  $A^{-1}$ )  
 2. Term orthogonal zu  $|0^n\rangle$  im 1. Register

$\Rightarrow$  Messen von  $|0^n\rangle$  im 1. Reg.  $\rightarrow$  impl. von  $M$

$$\text{Beweis: } W(|0^n\rangle|1\rangle) = V^H \left( \frac{1}{\sqrt{2}} \sum_j \sqrt{\alpha_j} |j\rangle |1\rangle \right)$$

$$\stackrel{\text{select } U_j}{=} V^H \left( \frac{1}{\sqrt{2}} \sum_j \sqrt{\alpha_j} |j\rangle |U_j\rangle |1\rangle \right)$$

$$= \underbrace{\Pi V^H (\quad)}_{\text{---}} + \underbrace{(\mathbb{I} - \Pi) V^H (\quad)}_{\text{---}}$$

$$(|0^n\rangle \otimes \mathbb{I}) \left( \frac{1}{\sqrt{2}} \sum_j \sqrt{\alpha_j} |j\rangle |1\rangle \otimes \mathbb{I} \right) |\phi^\perp\rangle \text{ da } \Pi(\mathbb{I} - \Pi) = 0$$

da  $\Pi$  1.Reg. auf  $|0^n\rangle$  Proj.  
 und aus Def. von  $V^H$

$$\Rightarrow = \frac{1}{\sqrt{2}} |0^n\rangle \sum_j \sqrt{\alpha_j} |U_j\rangle |1\rangle + |\phi^\perp\rangle$$

□

.) U<sub>-</sub> „select U“, wählt U<sub>i</sub> anhand von  
Kontrollregister aus

.) Erfolgswahrsch.  $\frac{\|M|\psi\rangle\|^2}{d^2}$

Unsere Anwendung  $\rightarrow M = A^{-1}, |\psi\rangle = |b\rangle$

mit QRAM: multiple  $|b\rangle$ -präparation möglich

$\hookrightarrow$  Amplitude amplification möglich  
(Drehung von  $|b\rangle$ )  $\Rightarrow$  quadratischen Speedup

hohe Wahrsch. in  $\mathcal{O}\left(\frac{d}{\|M|\psi\rangle\|}\right)$

Wiederholungen

.) V<sub>-</sub> unter einer impl.

.) falls unitäre Op. U<sub>i</sub> einfach implementierbar  
und Zerlegung  $\mathcal{O}(\log N)$ -Terme  
 $\hookrightarrow$  eff. Impl. von M

.) Query-Komplexität von U  $\simeq$  Query-Kompl.  
der teuersten U<sub>j</sub>

für Gate-Komplexität i. A. nicht so gut!

aber: für spez. Anwendungen, da  $U_j = \left(e^{-iA}\right)^{t_j}$  überall gleich

$$\text{Diagonalisierung} \quad A = T^H D T$$

$$\Rightarrow T^H D^{-1} T = A^{-1} \approx \sum_j \lambda_j e^{-i A t_j}$$

$$= T^H \sum_j \lambda_j e^{-i D t_j} T$$

da  $D = \text{diag}(\lambda_j) \Rightarrow$  brauche nur Entwicklung von

$$f(x) = \frac{1}{x} \approx \sum_j \lambda_j e^{-i x t_j}$$

für  $x \in \sigma(A)$  bzw.  $x \in \mathbb{R} \setminus \sigma(A)$

wie bei HHL  $\rightsquigarrow$  betrachte nur gut konditionierte EWE ( $\geq \frac{1}{K}$ ), verlängere auch  $t_{\max} = 1$  (Skalierung)

$\rightsquigarrow$  suche Approx. an  $f$  auf  $D_K := [-1, 1] \setminus [-\frac{1}{K}, \frac{1}{K}]$

Idee: 1) Plotte  $f$  um 0

2) Fourier frage (Integral)

3) Ersetze Integral durch endl. Summe

$\rightarrow$  Funktion  $h$  der Form  $\sum_j \lambda_j e^{-i x t_j}$  mit

$$\sup_{x \in D_K} |f(x) - h(x)| \leq C \epsilon$$

$\rightarrow$  Vorerstige Lemma  $\Rightarrow h(A) |x\rangle$  (+ Normierung) ist Approx. an  $|x\rangle$

Lemme Die Funktion

$$h(x) := \frac{i}{\sqrt{2\pi}} \sum_{j=0}^{J-1} \sum_{k=-K}^K \Delta_y \Delta_z z_k e^{-\frac{z_k^2}{2}} e^{-ixy_j z_k}$$

mit  $y_j := j \Delta_y$ ,  $z_k := k \Delta_z$  und  $J = \mathcal{O}\left(\frac{K}{\varepsilon} \log \frac{K}{\varepsilon}\right)$ ,  
 $K = \mathcal{O}(K \log \frac{K}{\varepsilon})$ ,  $\Delta_y = \mathcal{O}\left(\frac{\varepsilon}{\sqrt{\log(K/\varepsilon)}}\right)$ ,  $\Delta_z = \mathcal{O}\left(\frac{1}{K \log \frac{K}{\varepsilon}}\right)$

erfüllt

$$\sup_{x \in D_K} |h(x) - \frac{1}{x}| \leq C\varepsilon$$

---

Bew: Sei  $f(y) = ye^{-\frac{y^2}{2}}$

Subst.  
 $\Rightarrow \frac{1}{x} = \int_0^\infty f(xy) dy$  da  $\int_0^\infty f(y) dy = 1$

Wahl von  $f \Rightarrow$  klingt schnell ab, platt und

$F(f) = -if$  (so Eigenfkt. von  
Fourier trifo zu EW  $-i$ )

$$\Rightarrow f = if = \frac{i}{\sqrt{2\pi}} \int_{\mathbb{R}} ze^{-\frac{z^2}{2}} e^{-ixyz} dz$$

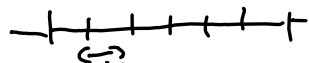
$$\Rightarrow \frac{1}{x} = \frac{i}{\sqrt{2\pi}} \int_0^\infty \int_{-\infty}^\infty ze^{-\frac{z^2}{2}} e^{-ixyz} dz dy$$

$\leadsto h(x)$  ist Riemann Summe zu Abschnittsintervallen  
in Formel für  $\frac{1}{x}$

1. Schritt: Summation / Integr. in y: in  $h \sim$  geom. Reihe

$$h(x) = \frac{i \Delta y}{\sqrt{2\pi}} \sum_{k=-K}^K \Delta_z z_k e^{-\frac{z_k^2}{2}} \frac{1 - e^{-ix\sqrt{2}\Delta y z_k}}{1 - e^{-ix\Delta y z_k}}$$

$$\frac{1}{x} = \frac{1}{\sqrt{2\pi}} \cdot \frac{1}{x} \int_{-\infty}^{\infty} e^{-\frac{z^2}{2}} dz$$



2. Schritt: Approx von Gitterweite durch Reihe ( $\infty$ -Riemann Summe)

$$\left| \frac{1}{x} \cdot \left( 1 - \frac{1}{\sqrt{2\pi}} \sum_{k=-\infty}^{\infty} \Delta_z e^{-\frac{(2\pi k)^2}{2}} \right) \right|$$

Poisson'sche

Summenformel

$$\sum_{k=-\infty}^{\infty} f(k) = \sqrt{2\pi} \sum_{k=-\infty}^{\infty} f(2\pi k)$$

$$= \sum_{k=-\infty}^{\infty} e^{-\frac{(2\pi k)^2}{\Delta z^2}/2} = 1 + \sum_{|k| \geq 1} e^{-\frac{(2\pi k)^2}{\Delta z^2}/2}$$

geom. Reihe

$$\Rightarrow \leq \frac{1}{|x|} \cdot 2 \sum_{k=1}^{\infty} e^{-\frac{2\pi^2 k}{\Delta z^2}} \downarrow = \frac{1}{|x|} \frac{2}{e^{2\pi^2/\Delta z^2} - 1}$$

$$\leq C K \cdot \varepsilon e^{-K^2 \log K}$$

$$\leq \tilde{C} \varepsilon$$

nach Wahl von  $\Delta z$   
und mit  $\frac{1}{|x|} \leq K$

3. Schritt: Reihe abschneiden

$$\Rightarrow \left| \frac{1}{\sqrt{2\pi}x} \cdot \left( \sum_{k=-\infty}^{\infty} \Delta z \cdot e^{-\frac{z_k^2}{2}} - \sum_{k=-K}^{K} \Delta z \cdot e^{-\frac{z_k^2}{2}} (1 - e^{-ixY_j z_k}) \right) \right| \leq C\varepsilon$$

folgt aus Dreiecksungleichung (feste Term  $(1 - e^{-ixY_j z_k})$  hinzufügt)

Poissonsche Summenformel

Abschätzung Reihenrest mittels Wahl von K

Länglich, aber einfach  $\rightarrow$  Literatur

4. Schritt:

$$|h(x) - \frac{1}{\sqrt{2\pi}x} \sum_{k=-K}^{K} \Delta z \cdot e^{-\frac{z_k^2}{2}} (1 - e^{-ixY_j z_k})|$$

Formel für h aus 1. Schritt:

$$\hookrightarrow \leq \frac{2}{\sqrt{2\pi}} \left| \sum_{k=-K}^{K} \underbrace{\left( \frac{i \Delta Y_j z_k}{1 - e^{-ix \Delta Y_j z_k}} - \frac{1}{x} \right)}_{\leq \Delta Y_j |z_k| \text{ da } \left| \frac{1}{1 - e^{-ix}} - \frac{1}{x} \right| < 1 \text{ für } x \in [-1, 1]} \cdot \Delta z e^{-\frac{z_k^2}{2}} \right|$$

$$|z_k| \leq e^{\frac{R_{\max}^2}{4}}$$

$$\hookrightarrow \sqrt{\frac{2}{\pi}} \Delta Y_j \sum_{k=-K}^{K} \Delta z e^{-\frac{z_k^2}{4}} \leq \int_0^{\infty} e^{-\frac{z^2}{4}} dz$$

$$= C \Delta Y_j \leq C \varepsilon$$

up to higher terms

S-Schritt, Kombinierte Schritt 2-4 mit Dreiecksuppl.

$$\Rightarrow |h(x) - \frac{1}{x}| \leq C \cdot \varepsilon$$

□

## Komplexität

Theorem Der  $\varphi$ -LGS kann mit  $\mathcal{O}(K \log \frac{K}{\varepsilon})$

Anwendungen von Hamiltonian Sim. für  $e^{-iHt}$  mit  $t = \mathcal{O}(K \log \frac{K}{\varepsilon})$  mit Genauigkeit  $\mathcal{O}(\frac{\varepsilon}{K \log \frac{K}{\varepsilon}})$  gelöst werden.

Die Gate-Komplexität ist

$$\mathcal{O}(s K^2 \log^{2.5}(\frac{K}{\varepsilon}) (\log N + \log^{2.5}(\frac{K}{\varepsilon}))$$

Beweis → Literatur muss  $V, U$  impl.

$$V \text{ in } \mathcal{O}(K \log \frac{K}{\varepsilon})$$

$U$  bzw. select  $U_i$  mit Ham. Simulation

$$\text{für } \underset{\text{sparsen}}{\overbrace{s t}} \left( \log N + \log^{2.5} \left( \frac{t}{\varepsilon} \right) \right) \log \frac{t}{\varepsilon}$$

Wahl von  $t \sim$  gew. Genauigkeit

Ham. Sim. muss  $\mathcal{O}(K \sqrt{\log \frac{K}{\varepsilon}})$  durchf. werden  
d. in Lemma vorne □

## Chebyshev approach

Idee: ersetze Fourier-Entwicklung durch Chebyshev-Polynome

Problem: sind nicht unitär

Lösung: „Block-encoding“ ( $n+1$ -qubit block enc.)

Sei  $A \in \mathbb{C}^{2^n \times 2^n}$ ,  $\|A\| \leq 1$  und angenommen, dass es  $\exists$  unitäre Matrix  $U \in \mathbb{C}^{2^{n+1} \times 2^{n+1}}$  s.d.

$$U = \begin{pmatrix} A & * \\ * & * \end{pmatrix} \quad \text{hier } * \in \mathbb{C}^{2^n \times 2^n}$$

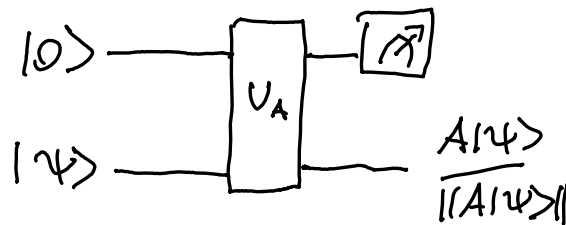
Einträge ~~egal~~, nur wichtig,  
dass  $U$  unitär

$\rightarrow$  Zustände  $|1\rangle$   $\rightsquigarrow$  betrachte  $|0\rangle|\psi\rangle \simeq \begin{pmatrix} \psi \\ 0 \end{pmatrix}$

$$\Rightarrow U(|0\rangle|\psi\rangle) = |0\rangle A|\psi\rangle + \underbrace{|1\rangle|\phi\rangle}_{\text{unwichtig}}$$

$\Rightarrow$  messe  $|0\rangle$  im 1. qubit  $\rightarrow$  Realisierung von  $A|\psi\rangle$

Circuit:  $|0\rangle$  —————  $\boxed{A}$  —————  $|1\rangle$



Bem.  $\cdot) L(U)$  ohne ampl.(stufe Smp.) ist  
Spezialfall von block encoding

- $\cdot)$  für generelles  $A \rightarrow$  schwer  
für sparse  $A \rightarrow$  effizient durchführbar
- 

$\Rightarrow$  Ziel : block encoding von  $A^{-1}$

Theorem Sei  $p \in \mathbb{P}_d$  mit  $\|p\|_{\infty, [-1,1]} \leq \frac{1}{4}$  Polynom  
von Grad  $\leq d$ . Sei  $U$  block enc. von  $A$  mit  $(n+d)$ -qubits.  
 $\Rightarrow$  Ein block encoding von  $P(A)$  mit  $(n+d/2)$ -qubits  
kann mittels  $d$ -Anwendungen von  $U, U^{-1}$ , einer  
Anwendung von controlled- $U$  und  $O(d)$  elem. Gates  
realisiert werden. (? - qubits)

---

Anwendung von Thm. :

Approx.  $f(x) = \frac{1}{x}$  durch  $p(x)$  :

$$\text{für } \tilde{d} = \Theta(K^2 \log \frac{K}{\epsilon})$$

$$\Rightarrow \sup_{x \in D_K} \left| \frac{1 - (1-x^2)^{\tilde{d}}}{x} - \frac{1}{x} \right| \leq \frac{\epsilon}{2}$$
$$\in \mathbb{P}_{2\tilde{d}-1}$$

-) schreibe  $\frac{1 - (1-x^2)^{\frac{d}{2}}}{x} = \sum_{j=0}^{2d-1} d_j T_j$   
 ↴ Cheby. Polynome

-) schnelle Entwicklung bei  $d = O(\log \frac{K}{\epsilon})$  ab  
 → Fehler  $\leq \frac{\epsilon}{2}$

⇒ Theorem gibt eff. Implementierung von  $P_d(A)$

⇒ Anwendung von block encoding → Zustand  $| \tilde{x} \rangle$  mit  
 $| | \tilde{x} \rangle - | x \rangle | \leq C \epsilon$

Frage: Gate-komplexität:

$$\Theta\left(s K^2 \log^2\left(\frac{sK}{\epsilon}\right) (\log N + \log^{2.5}\left(\frac{sK}{\epsilon}\right))\right)$$

besser als Fourier approach, braucht aber direkt sparse access (funktioniert nicht für allg. Matrizen)

Fourier approach → stattdessen Hamiltonian simulation  
 ↳ allgemeiner